

PENANGGUNG JAWAB

Dekan Fakultas Teknologi Industri  
Universitas Islam Sultan Agung  
Semarang

Sukarno Budi Utomo  
Dedi Nugroho

Andre Sugiyono  
Adi Susanto  
Hermawan



Tumiran  
4. Chairul Saleh  
5. Muhammad Taufik  
6. Heru Prastawa  
7. Agus Suprayitno  
8. Novi Marlyana  
9. Didik Prastyanto  
10. Eli Mas'Idah

PENASEHAT  
KETUA DILAN REDAKSI  
SERRETARIS DILAN REDAKSI  
ANGGGOTA DILAN REDAKSI

ALAMAT REDAKSI

FAKULTAS TEKNOLOGI INDUSTRI  
UNIVERSITAS ISLAM SULTAN AGUNG  
Jl. Raya Kaligawe km. 4  
Po. Box. 1074/SII  
Semarang 50112  
Telp : (024) 6583584 psw. 362  
Fax : (024) 6582455  
e-mail : transistor\_unissula@yahoo.com

Jurnal TRANSISTOR diterbitkan oleh Fakultas Teknologi Industri Universitas Islam Sultan Agung (UNISSULA) Semarang. Dimaksudkan sebagai media pertukaran informasi dan karya ilmiah b para akademisi, praktisi dan pihak-pihak lain yang menaruh minat terhadap masalah teknologi. Untuk menuangkan ide pemikirannya,jurnal ini terbit dua kali dalam setahun (Desember dan Juli). Redaksi menerima naskah yang belum pernah diterbitkan atau dalam proses titerbitkan oleh me lain. Pedoman penulisan naskah untuk Jurnal TRANSISTOR tercantum pada bagian akhir jurn Surat menyurat mengenai naskah yang diterbitkan, berlangganan dan lainnya dapat dialamat ke alamat redaksi.

Asal: Hadiyah Klass: 9ER

Terima Tgl: 15 AUG 2007	620.05
No. Induk:	JUR
KLASS / PENYALIN:	J 200

**PENGUKURAN LAJU PUTARAN  
DENGAN MENGGUNAKAN TRANSDUSER INDUKTIF**  
(*Measurement of Angular Speed by Using Inductive Transducer*)

Bowo Eko Cahyono, Misto

**PEMETAAN PERAWATAN UNTUK MEMINIMASI BREAKDOWN  
DENGAN PENDEKATAN RELIABILITY CENTERED MAINTENANCE**

Sri Hartini, Sriyanto

**ANALISA PERILAKU MODEL MASSA PEGAS  
TERHADAP BEBERPA MASUKAN ISTYARAT UJI**

Bustanul Arifin

**DETERMINATION OF GERMANIUM PROFILE ON ION IMPLANTED GaAs  
USING SECONDARY ION MASS SPECTROMETRY**

Imam Rofii

**SISTEM INFORMASI WAKTU DAN KALENDER HIRIAH ELEKTRONIS  
BERBASIS MIKROKONTROLER AT89S51 DAN RTC-1287**

Tole Sutikno, Iswanjono

**PERANCANGAN PEMBANTU KIT SINYAL KENDALI  
PADA INVERTER SATU FASA DENGAN PPI 8-35**

Adii Kurniantoro

**APPLICATION OF HEURISTIC PRIORITY DISPATCHING AT SCHEDULING OF  
JOB SHOP FOR THE MINIMIZATION OF MAKESPAN**

Andre Sugiyono

**PERENCANAAN PRODUKSI DENGAN  
LOT-BUCKET MATERIAL REQUIREMENT PLANNING**  
(*Studi Kasus Pada PT. XXX Yogyakarta*)

Intan Berlanty

**PENGERING GABAH HIBRIDA BERENERGI SURYA DAN BIOMASSA**

Totok Prasetyo

**OPTIMASI PENJADWALAN PEMETIKAN PUCUK TEH  
DENGAN MENGGUNAKAN MODEL PROGRAM DINAMIS**

Puryani, Tri Wibawa

Akreditasi No. 39/DIKTI/Kep/2004	TRANZISTOR	Vol. 8	No. 2	Halaman 1 – 103	Semarang	Desember 2006	ISSN 1411-366X
----------------------------------	------------	--------	-------	-----------------	----------	---------------	----------------

## *Dan Redaksi*

*Assalamualaikum Wr. Wb.*

Alhamdulillahirobbil 'Alamiin, segala puja dan puji syukur kehadirat Allah SWT, atas rahmat dan hidayah-Nya Jurnal TRANSISTOR Vol. 8, No. 2, Desember 2006 Fakultas Teknologi Industri kembali ditengah-tengah kita.

Dalam edisi ini Jurnal TRANSISTOR memuat berbagai artikel menarik seperti Aplikasi Sistem Kontrol pada Industri, Perencanaan Produk maupun Optimasi Industri.

Akhinya pihak redaksi tak henti-hentinya mengajak kepada para pembaca untuk turut serta berperan aktif memajukan Jurnal TRANSISTOR dengan mengirimkan karya-karya ilmiah yang bermutu dan bermanfaat bagi kemajuan bidang teknologi industri. Semoga artikel-artikel yang dimuat pada edisi ini dapat bermanfaat bagi para pembaca yang budiman.

*Wassalamualaikum Wr. Wb.*

Semarang, Desember 2006  
Redaktur

## DAFTAR ISI

PENGUKURAN LAJU PUTARAN DENGAN MENGGUNAKAN TRANSPUSER INDUKTIF <i>(Measurement of Angular Speed by Using Inductive Transducer)</i>	1 – 10
Bowo Eko Cahyono, MSc	
PEMETAAN PERAWATAN UNTUK MEMINIMASI BREAKDOWN DENGAN PENDekATAN RELIABILITY CENTERED MAINTENANCE	11 – 19
Sri Hartini, Sriyanto	
ANALISA PERILAKU MODEL MASSA PEGAS TERHADAP BEBERAPA MASUKAN ISYARAT UJI.	20 – 30
Bustanul Arifin	
DETERMINATION OF GERMANIUM PROFILE ON ION IMPLANTED GaAs USING SECONDARY ION MASS SPECTROMETRY	31 – 39
Imam Rofii	
SYSTEM INFORMASI WAKTU DAN KALENDER HIJRIAH ELEKTRONIS BER BASIS MIKROKONTROLER K.89S51 DAN RTC-1287	40 – 48
Tole Sutikno, Iswanjono	
PERANCANGAN PEMBANGKIT SINYAL KENDALI PADA INVERTER SATU FASA DENGAN PPI 8255	49 – 69
Adhi Kusmiantoro	
APPLICATION OF HEURISTIC PRIORITY DISPATCHING AT SCHEDULING OF JOB SHOP FOR THE MINIMIZATION OF MAKESPAN	70 – 76
Andre Sugiyono	
PERENCANAAN PRODUKSI DENGAN LOT-BUCKET MATERIAL REQUIREMENT PLANNING <i>(Studi Kasus Pada Pt. XXX Yogyakarta)</i>	77 – 85
Intan Berilanty	
PENGERING GABAH HIBRIDA BERENERGI SURYA DAN BIOMASSA	86 – 94
Totok Prasetyo	
OPTIMASI PENjadwalan PEMETIKAN PUCUK TEH DENGAN MENGGUNAKAN MODEL PROGRAM DINAMIS	95 – 103
Puryani, Tri Wibawa	

## PENGUKURAN LAJU PUTARAN

### DENGAN MENGGUNAKAN TRANSDUSER INDUKTIF (Measurement of Angular Speed by Using Inductive Transducer)

Bowo Eko Cahyono<sup>1</sup> dan Misto<sup>2</sup>

#### ABSTRACT

The inductive transducer using the technique of a series resonance bridge has been designed to measure the angular speed. This technique is just needed the aluminium slot disk which have diameter 5 cm and have flat chink that connected on motor. Besides this inductive transducer can produce wave frequency issue which same with wave frequency reference it's about 2.5 kHz and this inductive transducer it's good enough for use. Whereas for measurement of angular speed can obtain by knowing connection between frequency issue which measure by angular speed. The result of measurement for frequency 2.5 kHz, 2.78 kHz, 3.125 kHz and 3.57 kHz the frequent is  $5\pi \times 10^3$  rad/s;  $5.56\pi \times 10^3$  rad/s;  $6.25\pi \times 10^3$  rad/s and  $7.14\pi \times 10^3$  rad/s.

**Keywords :** Inductive transducer, Output frequency, reference frequency, angular speed.

#### PENDAHULUAN

Pada sistem pengukuran biasanya banyak digunakan metode dan teknik listrik, manipulasi atau pengontrolan, dimana besaran yang bukan listrik diubah menjadi suatu sinyal listrik oleh alat yang disebut transduser. Dengan kata lain “transduser merupakan sebuah piranti atau alat yang apabila digerakkan oleh energi di dalam sebuah sistem transmisi, maka akan mengubah gaya atau perpindahan mekanis menjadi sinyal listrik yang setara” (Cooper, 1999:385). Transduser induktif memiliki prinsip kerja dan sifat, yaitu: induktansi diri atau induktansi bersama dari kumpulan yang dieksitasi oleh ac diubah menjadi perubahan dalam medan magnet. Transduser induktif ini digunakan untuk mengukur laju putaran yang memiliki sensitifitas tinggi dan bebas dari pengaruh temperatur.

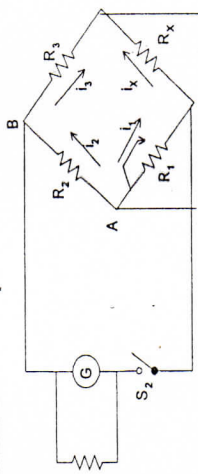
Selain itu transduser induktif juga menggunakan rangkaian jembatan resonansi yang memiliki sensitifitas tinggi untuk mengukur laju putaran. Karena rangkaian jembatan resonansi merupakan kombinasi antara rangkaian RC dan induktansi dari getulungan yang dilapisi inti baja. Selain itu, rangkaian transduser induktif dapat dengan mudah diterapkan dengan menggunakan rangkaian yang sederhana yang terdiri dari rangkaian jembatan resonansi, penguat diferensial, rangkaian demodulator sederhana, filter lolos rendah, filter lolos tinggi, dioda sebagai penyearah dan rangkaian komparator. Dari uraian di atas maka perlu dikaji lebih jauh tentang penggunaan transduser induktif sebagai transduser alternatif untuk pengukuran laju putaran yang memiliki frekuensi yang proporsional terhadap laju putaran.

Tujuan dari penelitian ini adalah untuk mendesain sistem pengukuran laju putaran dengan menggunakan transduser induktif untuk sistem slot piringan (disk).

<sup>1</sup> Staff Pengajar Jurusan Fisika FMIPA Universitas Jember  
<sup>2</sup> Staff Pengajar Jurusan Fisika FMIPA Universitas Jember

## TINJAUAN PUSTAKA

Rangkaian Jembatan Wheatstone  
Rangkaian Jembatan Wheatstone biasanya digunakan untuk menentukan dan membandingkan tahanan antara  $1\Omega$  sampai  $1\text{M}\Omega$ .



Gambar 1. Skema Dasar Jembatan Wheatstone (Holman, 1992:121)

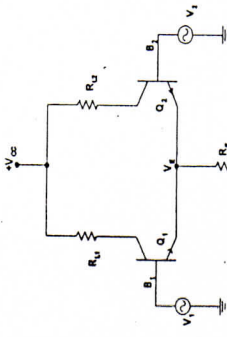
Jembatan Wheatstone memiliki 4 buah tahanan ( $R_1, R_2, R_3, R_x$ ) dengan  $R_1$  merupakan tahanan variabel,  $R_2$  dan  $R_3$  merupakan resistor yang diketahui dan  $R_x$  merupakan tahanan yang tidak diketahui yang berkaitan dengan keluaran transduser. Jika saklar  $S_1$ , ditutup maka tegangan E bekerja dan dengan mengatur tahanan variabel  $R_1$  makaimbangan dapat disimbangkan. Ini berarti bahwa beda potensial diantara titik B dan D adalah nol. Keduaan seimbang bisa diketahui dengan cara menutup saklar  $S_2$  dan mengubahubah nilai  $R_1$  sehingga galvanometer menunjukkan bahwa tidak ada lagi arus yang mengalir.

### Pengantar Op-Amp

Pengantar operasional (Op-Amp) adalah sebuah rangkaian integrasi (IC) linier yang dapat memberikan pengintegrasian yang sangat besar dan dapat dioptimalkan pada interval tegangan yang cukup lebar. "Op-Amp mampu memberikan pengintegrasian sampai setinggi 100.000 kali untuk sebuah Op-Amp dalam keadaan rangkaian hubung terbuka dan sampai hanya sebesar satu kali saat digunakan sebagai rangkaian pengikut tegangan." (Tim Dosen, 2003:1)

### Pengantar Diferensial dengan Op-Amp

Pengantar diferensial digunakan untuk memperoleh pengukuran gandengan DC. Pada gambar 2 menunjukkan rangkaian dasar pengukur diferensial sehingga sistem kerja pengukur diferensial dapat diketahui.



Gambar 2. Rangkaian Dasar Pengukur Diferensial (Subekti, 2003:171)

### Penyebar Dioda

Dioda merupakan suatu komponen elektronik yang dapat melewakan arus pada satu arah saja. Dioda berperan sangat penting dalam elektronika misalnya:

1. Untuk membuat berbagai bentuk gelombang isyarat
2. Untuk laser semikonduktor
3. Untuk menghasilkan tegangan searah dari tegangan bolak-balik
4. Untuk mengatur tegangan searah agar tidak berubah.

Penyebar dioda ada 2 macam yaitu:

1. Penyebar dioda setengah gelombang
2. Penyebar dioda gelombang penuh

### Filter Lelos Rendah

Filter lelos rendah merupakan filter yang hanya meneruskan sinyal pada frekuensi rendah. Filter lelos tinggi merupakan filter yang hanya meneruskan sinyal pada frekuensi tinggi.

### Komparator

Aplikasi penting nonlinier dari Op-Amp yang paling sederhana adalah sebagai komparator dimana secara sederhana aplikasi ini hanya berupa perbandingan tegangan yang dikenakan pada kedua masukan dan melihat mana yang berharga lebih tinggi.

### Prinsip Transduser

Induktansi efektif pada induktor bercela yang diberi piagam berlubang yang berputar dengan kecepatan angular  $\omega_r$  adalah:

$$L(\omega_r) = L_{(o_m)} - \frac{M}{2L_e} (1 - \cos \omega_r t) \quad (1)$$

dengan

- $\omega_r$  = laju putaran piringan
- $\omega_m$  = laju putaran tegangan masukan jembatan
- $L_e$  = induktansi kumpanaran (induktor) pada saat piringan berlubang
- M = induktansi saling
- L = induktansi diri

Tegangan pada titik A dan B dapat ditentukan dengan persamaan (Cooper, 1999)

$$V_A = \frac{R_2}{(R_1 + R_2)} e_m \quad (2)$$

$$V_B = e_m \frac{[R_0 + (jX_L - jX_{L0}) - jX_c]}{R_3 + [R_0 + (jX_L - jX_{L0}) - jX_c]} \quad (3)$$

dengan

$$X_L = X_{I(\omega_m)} = \omega_m L_{(\omega_m)} \quad (4)$$

$$X_{L0} = \omega_m \frac{M}{2L_e} (1 - \cos \omega_r t) \quad (5)$$

$R_0, R_1, R_2$  = tahanan pada lengan jembatan  
Tegangan pada terminal A dan B menjadi

$$V_{AB} = e_m \left[ \frac{R_2}{R_1 + R_2} - \frac{\{R_0 + (jX_L - jX_{L0}) - jX_c\}}{R_3 + R_0 + (jX_L - jX_{L0}) - jX_c} \right] \quad (6)$$

Pada saat jembatan dalam kondisi setimbang pada frekuensi resonansi angular,  $R_0, R_1 = \infty$ ,  $R_3$  dan  $X_L = X_c$ .  
Oleh karena itu

$$V_{AB} = e_m \left[ \frac{R_2}{R_1 + R_2} - \frac{R_0 - jX_{L0}}{R_3 + R_0 - jX_{L0}} \right] \quad (7)$$

Dengan asumsi  $(R_0 + R_3) \gg X_{L0}$  jika  $e_m = E_{(maks)} \cos \omega_m t$ , sehingga

$$V_{AB} = e_m \left[ \frac{R_2}{R_1 + R_2} - \frac{R_0 - jX_{L0}}{R_3 + R_0} \right] \quad (8)$$

$$V_{AB} = e_m \left[ \frac{jX_{L0}}{R_j + R_3} \right]$$

Apabila tegangan yang diberikan pada jembatan adalah

$$e_m = E_{(maks)} \cos \omega_m t \quad (9)$$

maka dengan mensubstitusi persamaan (9) dan (5) ke dalam persamaan (8) menjadi

$$V_{AB} = \frac{j}{(R_0 + R_3)} \left[ E_{(maks)} \cos \omega_m t \left[ \frac{\omega_m}{2L_e} (1 - \cos \omega_r t) \right] \right] \quad (9)$$

$$V_{AB} = \frac{j}{(R_0 + R_3)} E_{(maks)} \omega_m \frac{M}{2L_e} [\cos \omega_m t - \cos \omega_m t \cos \omega_r t] \quad (10)$$

dengan amplitudo

$$V_{AB0} = \frac{j}{R_0 + R_3} E_{(maks)} \omega_m \frac{M}{2L_e} \quad (11)$$

yang berharga tetap. Sedang faktor  $[\cos \omega_m t - \cos \omega_m t \cos \omega_r t]$  akan membentuk spektrum frekuensi  $\omega_m$ ,  $(\omega_m + \omega_r)$  dan  $(\omega_m - \omega_r)$ .

Sehingga  $V_{AB}$  akan mempunyai spektrum  $\omega_m$ ,  $(\omega_m + \omega_r)$  dan  $(\omega_m - \omega_r)$ . Selanjutnya dengan menyearahkan (dengan dioda), memfilter lolos rendah dan lolos tinggi pada frekuensi  $\omega_{AB} = (\omega_m - \omega_r)$  akan diperoleh

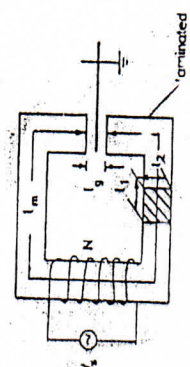
$$V_{AB} = |V_{AB0}| \frac{1}{2} \cos(\omega_m - \omega_r)t \quad (12)$$

$$V_{AB} = \left| \frac{1}{2} V_{AB0} \right| \cos(\omega_m - \omega_r)t \quad (12)$$

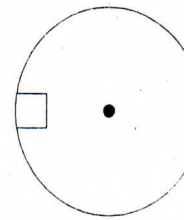
Selanjutnya dengan mengatur amplitudo gelombang dari *function generator* (Yang berfrekuensi  $\omega_m$ ) minimum sehingga diperoleh  $\omega_m \approx 0$  atau  $|\cos \omega_m - \omega_r| t \approx |\cos \omega_r t|$ . Harga  $|\cos \omega_r t|$  diperoleh karena bekerjanya penyebaran oleh dioda dan dapat diamati oleh osiloskop.

#### METODE PENELITIAN

Transistor seri induktif dan slot piringan pada rangkaian jembatan didesain seperti pada gambar 3 dan 4

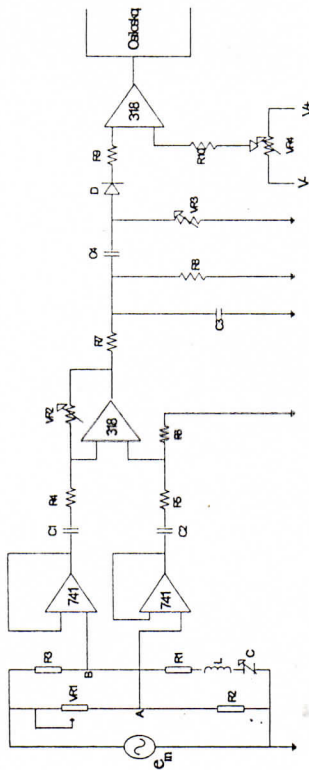


Gambar 3. Desain Transduser Induktif pada Rangkaian Jembatan



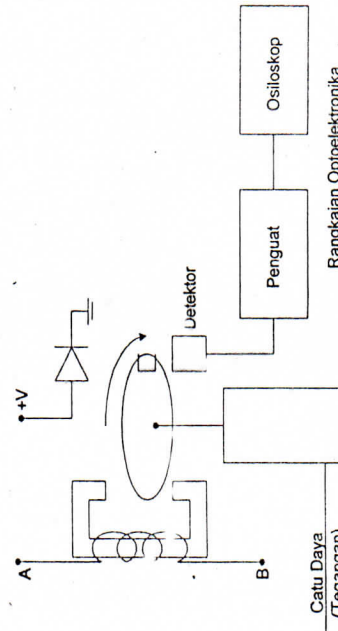
Gambar 4. Desain Slot Piringan

#### Desain pengolah sinyal dan pengukuran



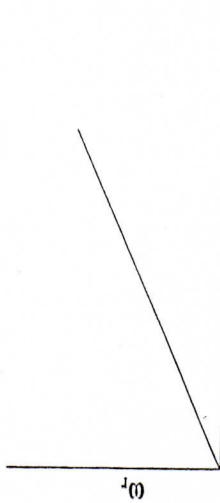
Gambar 5. Desain Rangkaian Pengolah Sinyal dan Pengukuran

Frekuensi rendah ( $\omega_r$ ) diperoleh dengan pengaturan  $\omega_{3dB}$  dari filter lolos rendah dan filter lolos tinggi. Selanjutnya harga ( $\omega_r$ ) perlu dikalibrasi dengan menggunakan rangkaian optoelektronika yang diketahui pada prinsip (objek pengukuran) yang berputar dengan kecepatan angular  $\omega_r'$  (kedua keluaran dari filter dan rangkaian optoelektronika dihubungkan ke osiloskop). Rangkaian  $c'$ -oelektronika yang dibuat seperti pada gambar 3.4.



Gambar 6. Rangkaian Pengukuran Penbagai Tegangan dan Frekuensi Pada aran Motor (Untuk Pembanding)

Hasil kalibrasi  $\omega_r$  oleh  $\omega_r'$  diperoleh melalui grafik seperti gambar berikut ini (keduanya dari osiloskop).



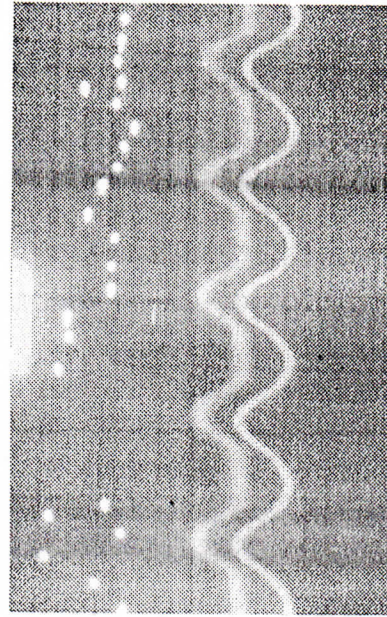
Gambar 7. Grafik hubungan hasil kalibrasi  $\omega_r$  oleh  $\omega_r'$

Selanjutnya dengan mengetahui grafik tersebut, apabila alat pengukur kecepatan angular ini digunakan untuk mengukur kecepatan obyek yang lain, harga  $\omega_r$  dari kecepatan obyek bisa diperoleh.

#### HASIL DAN PEMBAHASAN

Dari hasil percobaan yang telah dilakukan di Laboratorium Elektronika dan Komputasi diperoleh harga induktansi diri (L) sebesar 1,6 mH dan frekuensi (f) masukan dari function generator sebesar 5,926 kHz.

Sedangkan frekuensi keluaran pada osiloskop sebagai frekuensi yang diukur didapatkan sebesar 2,5 kHz dan frekuensi keluaran pada osiloskop sebagai frekuensi referen diperoleh sebesar 2,5 kHz ditunjukkan pada gambar di bawah ini :



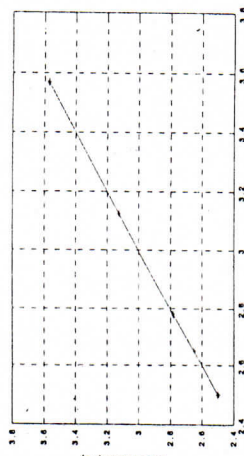
Gambar 8. Foto Gelombang Keluaran (Atas) dan Gelombang Referen (Bawah) yang Tampak pada Osiloskop

Pada tabel 1 di bawah ini menunjukkan besarnya frekuensi keluaran yang diukur dan frekuensi referen sebagai hasil kalibrasi.

Tabel 1 : Besarnya Frekuensi yang Diukur dan Frekuensi Referen.

F <sub>r</sub> (kHz)	F <sub>t</sub> (kHz)
2,5	2,5
2,78	2,78
2,78	2,78
3,125	3,125
3,125	3,125
3,57	3,57

Sehingga dapat diketahui bentuk grafik frekuensi keluaran terhadap frekuensi referen yaitu:



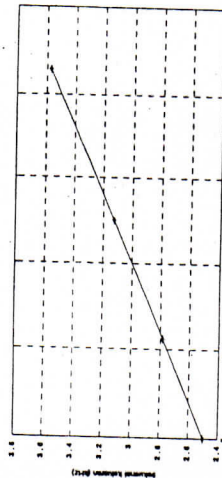
Gambar 9. Grafik Hubungan Antara Frekuensi Keluaran dengan Frekuensi Referen

Untuk pengukuran laju putaran d... i slot piringan dapat diperoleh dengan mengetahui hubungan antara frekuensi keluaran yang diukur d... ga... laju putaran (ω) yang ditunjukkan pada tabel 2 di bawah ini:

Tabel 2 : Besarnya Laju Putaran Slot Piringan (ω) dengan Variasi Tegangan

Tegangan (volt)	F <sub>r</sub> (kHz)	Laju Putaran Slot Piringan (rad/s)
0,6	2,5	$5 \times 10^3$
0,7	2,78	$5,56 \times 10^3$
0,8	2,78	$5,56 \times 10^3$
0,9	3,125	$6,25 \times 10^3$
1	3,125	$6,25 \times 10^3$
1,1	3,57	$7,14 \times 10^3$

Dari data pengukuran dan perhitungan (table 2) dapat ditentukan hubungan antara frekuensi keluaran yang diukur dengan laju putaran seperti pada grafik di berikut ini.



Gambar 10. Grafik Hubungan Antara Frekuensi Keluaran Terhadap Laju Putaran

Transduser merupakan induktansi dari gulungan yang berada pada lapisan inti baja yang berfungsi sebagai induktansi pada rangkaian jembatan resonansi. Pada penelitian ini yang dilakukan adalah mengetahui atau menentukan hasil kalibrasi frekuensi keluaran dengan menggunakan rangkaian transduser induktif dan menentukan laju putaran ( $\omega$ ) slot piringan dengan menggunakan rangkaian transduser induktif.

Dengan demikian dapat ditunjukkan bahwa nilai frekuensi keluaran sebagai referen sama dengan nilai frekuensi keluaran yang diukur sehingga grafik hubungan antara frekuensi gelombang torakur dengan frekuensi gelombang referen membentuk garis lurus dengan kemiringan sudut  $45^\circ$  sehingga dengan demikian rangkaian transduser induktif untuk pengukuran frekuensi keluaran tidak memerlukan pengali lagi.

Karakteristik dari percobaan untuk menentukan laju putaran ( $\omega$ ) dari slot piringan dapat ditentukan dengan menvariaskan tegangan serta mengukur frekuensi keluaran dari rangkaian transduser dengan bantuan osiloskop, sehingga bentuk gelombang keluaran dapat ditampilkan pada osiloskop.

Grafik hubungan antara laju putaran slot piringan terhadap frekuensi keluaran menunjukkan bahwa laju putaran slot piringan semakin besar jika frekuensi keluaran semakin besar dan menunjukkan bahwa grafik hubungan antara laju putaran terhadap frekuensi keluaran berupa garis linier. Tetapi slot piringan baru dapat berputar ketika tegangan menunjukkan angka  $0,6$  volt. Jika kurang dari  $0,6$  volt slot piringan tidak dapat berputar, hal ini dipengaruhi dari besarnya daya motor yaitu  $3$  volt dan induktansi diri sebesar  $1,6$  mH. Jadi jika daya motor semakin besar juga dibutuhkan tegangan yang lebih besar untuk dapat menggerakkan slot piringan. Sedangkan pada tegangan lebih dari  $1,1$  volt maka gelombang keluaran akan rusak karena tegangan yang sangat besar dapat mengakibatkan daya motor yang hanya  $3$  volt tidak mampu menggerakkan slot piringan lebih cepat lagi. Selain itu, jika putaran slot piringan bergerak sangat cepat akan mengakibatkan rangkaian bergetar dan rusak karena hanya dipasang pada project board.

## KESIMPULAN

Dari hasil penelitian dapat dipastikan bahwa rangkaian transduser induktif yang digunakan sudah tidak memerlukan pengali lagi karena frekuensi yang terukur selalu tepat sama dengan frekuensi referen dan grafiknya linier dengan membentuk kemiringan sudut sebesar  $45^\circ$ .

Dari grafik hubungan antara frekuensi keluaran yang diukur dengan laju putaran slot piringan berupa grafik yang linier dan rangkaian transduser induktif ini dapat digunakan untuk mengukur laju putaran obyek dengan mengukur terlebih dahulu besarnya frekuensi keluaran dari rangkaian transduser induktif yang tampak pada osiloskop.

**DAFTAR PUSTAKA**  
Beckwith, T.G., Buck, N.L. & Maranggo, R.D, 1987, *Pengukuran Mekanis*, Edisi Ketiga,  
Jilid I, Erlangga, Jakarta.

Boylestad, R. & Nashelsky, L., 2003, *Electronic Devices and Circuit Theory*, Prentice-Hall  
International, Inc., New Jersey.

Cooper, W.D., 1999, *Instrumentasi Elektronik dan Teknik Pengukuran*, Erlangga, Jakarta.

Holman, J.P. & Jasfi, E., 1992, *Metode Pengukuran Teknik*, Edisi Keenam, Erlangga,  
Jakarta.

Subekti, A., 2003, *Diktat Kuliah Elektronika Dasar*, Fakultas MIPA Universitas Jember,  
Jember.

Team Dosen., 2003. *Petunjuk Praktikum Elektronika*, Fakultas MIPA Universitas Jember,

Jember.

CG80

**PEMETAAN PERAWATAN UNTUK MEMINIMASI BREAKDOWN  
DENGAN PENDEKATAN "RELIABILITY CENTERED MAINTENANCE"**  
**Sri Hartini<sup>1</sup>, Sriyanto<sup>2</sup>**

**Abstrak**

*Reliability Centered Maintenance (RCM)* adalah suatu pendekatan perawatan yang berbasis pada upaya menjamin keandalan mesin. Dengan pendekatan ini, perawatan dilakukan untuk menjamin gear asset terus menerus mencapai kemampuan dasarnya. Dari penelitian ini dilakukan analisis fungsi sistem yang tepat terhadap seksi *Baking* mesin *Imafomi* PT Nissin Biskuit Indonesia melalui pendekatan RCM untuk mengetahui mungkinkan yang dapat menyebabkan sistem kehilangan fungsinya secara keseluruhan. Informasi yang diperoleh dari analisis ini menjadi masukan bagi pemetaan tindakan perawatan (*maintenance mapping*) yang sesuai terhadap komponen-komponen mesin untuk meminimalkan *breakdown* mesin.

**Keywords :** Reliability Centered Maintenance, Maintenance Mapping

**PENDAHULUAN**

Salah satu metode yang dapat digunakan untuk menentukan tindakan perawatan pada mesin melalui analisis sistem adalah dengan pendekatan *Reliability Centered Maintenance (RCM)*. RCM merupakan suatu proses yang digunakan untuk menentukan apa yang harus dilakukan untuk menjamin agar mesin dapat berlangsung terus menerus dengan fungsi yang diharapkan dalam konteks operasi-nya saat ini, atau dengan kata lain mencegah mesin mengalami kegagalan fungsi dengan tetap memperhatikan konsekuensi-konsekuensi yang mungkin timbul dari setiap kerusakan. Untuk mendapatkan perawatan yang baik harus dipahami karakter dan fungsi sistem. Mesin ini terdiri dari empat bagian utama, yakni *Mixing*, *Cutting*, *Baking* dan *Packing*. Empat seksi tersebut bekerja secara berkesinambungan dan kersuaikan pada salah satu bagian menyebabkan proses produksi mesin berhenti secara keseluruhan. Selama ini PT. Nissin Biskuit Indonesia telah menerapkan kebijaksanaan perawatan baik *preventive maintenance* yang bertujuan untuk mencegah terjadinya kerusakan, maupun *corrective maintenance* untuk memperbaiki kerusakan yang terjadi pada mesin. Selama ini, kegiatan *preventive maintenance* yang dilakukan hanya dalam *preventive maintenance*, tetapi frekuensi *breakdown* dari mesin terutama seksi *Baking* masih cukup besar, sekitar 46,97% dari total kerusakan pada tahun 2004 lalu. Padahal diinginkan frekuensi *breakdown* mesin dapat ditekan seminimal mungkin agar produksi dapat berjalan dengan lancar.

Oleh karena itu perlu dilakukan analisis sistem yang tepat terhadap bagian *Baking* mesin *Imafomi*, dalam hal ini dilakukan analisis RCM untuk mengetahui komponen-komponen dan modus kegagalan yang dapat menyebabkan sistem kehilangan fungsinya, serta menetapkan tindakan perawatan yang tepat untuk meminimalkan terjadinya kegagalan fungsi mesin.